

Часть I Строение твердой Земли

ГЛАВА I СЕЙСМОЛОГИЯ

«Сейсмология сложилась позже большинства физических наук. Сейчас так же трудно представить сейсмолога без его основного прибора — сейсмографа, как и астронома без телескопа. Между тем телескоп был построен около 1600 г., а первые эффективные сейсмографы — между 1879 и 1890 гг.»

Чарльз Ф. Рихтер.
«Элементарная сейсмология.»

1.1. КЛАССИЧЕСКАЯ СЕЙСМИЧЕСКАЯ МОДЕЛЬ ЗЕМЛИ ДЖЕФФРИСА — ГУТЕНБЕРГА

Долгое время сейсмология, одним из основателей которой является русский физик и геофизик академик Борисович Голицын (1862—1916), была наукой о землетрясениях и сейсмических волнах. В настоящее время сейсмология занимается измерениями и анализом всех движений, которые регистрируются сейсмографами на поверхности твердой Земли. День и ночь около тысячи сейсмических станций, расположенных в различных пунктах земного шара, регистрируют дрожание земной поверхности, обусловленное различными причинами. На Земле имеется заметный сейсмический фон, или шумы, а волны от землетрясений и больших взрывов, которые могут быть использованы в научных целях для исследования строения Земли, записываются на фоне этих побочных промышленности и транспорта, а с другой стороны, с радиоактивными, с микросейсмами — сейсмическими волнами, которые генерируются штормами и беспрерывным волнением в океанах.

По сравнению с Землей Луна представляет идеальный объект для сейсмических исследований. Это обусловлено тем, что на Луне нет атмосферы, океанов и промышленности, а соответственно и сейсмических помех. В связи с этим чувствительность сейсмометров, установ-

ленных на Луне, исключительно высока и приближается к своему теоретическому пределу, составляющему несколько десятков ангстрем смещения почвы.

При землетрясении из ограниченной области под поверхностью Земли излучаются упругие колебания — сейсмические волны. Область, из которой излучаются сейсмические волны, называется очагом землетрясения.

Очаг расположен под поверхностью Земли, и его размеры равны нескольким километрам. Сейсмические волны — это, по существу, низкочастотные звуковые волны в твердой упругой Земле. Они делятся на объемные и поверхностные. Объемные волны бывают двух типов — продольные и поперечные. Продольные волны представляют упругие волны сжатия, а поперечные волны — упругие волны сдвига. Распространение объемных волн в другой Земле подобно распространению световых лучей в оптических средах.

Продольные и поперечные сейсмические волны, в отличие от поверхностных волн, распространяющиеся вдоль земной поверхности, проникают весь объем (всего тела) нашей планеты. Поэтому они называются объемными волнами. Они в буквальном смысле слова просвечивают нашу планету и, подобно рентгеновскому анализу позвоночного вымысла внутреннее строение Земли без неспредлажают вымысла внутреннего проникновения в ее недра. Скорость продольных волн в 1,7 раза больше, чем скорость поперечных волн. Соответственно они регистрируются на сейсмограммах раньше и называются первичными, или волнами P , поперечные волны именуются вторичными (волны S)¹⁾. Скорости объемных волн выражаются через модули упругости (K — модуль сжатия, μ — модуль сдвига) и плотность ρ среды в данной точке простыми формулами, известными из элементарного курса физики:

$$v_p = \sqrt{\frac{K + \frac{4}{3}\mu}{\rho}} \quad \text{— продольные волны,} \quad (1)$$

$$v_s = \sqrt{\frac{\mu}{\rho}} \quad \text{— поперечные волны.} \quad (2)$$

Если бы скорости сейсмических волн P и S в Земле были постоянными и не зависели от глубины, то сейсмиче-

¹⁾ Обозначения сейсмических волн P и S берут свое начало от английских слов primary — первичные и secondary — вторичные.

сийские лучи представляли бы собой прямолинейные отрезки. В действительности v_p и v_s систематически весят с погружением в недра Земли, исключая небольшую зону на глубинах 50–250 км. Поэтому реальные сейсмические лучи искривлены, т. е. Земля ведет себя

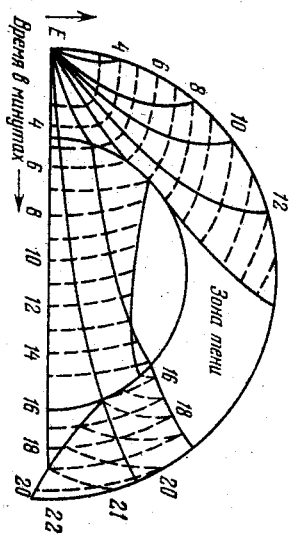


Рис. 1. Пути Р-волни, их время распространения в недрах Земли. Сечение Земли показывает пути сейсмических Р-волни, излучаемых из отверстия (точка Е). Прямыми линиями, изображены, указана время прихода Р-волни в различные точки земной поверхности в минутах. Р-волни не регистрируются в обширной зоне тени, что обусловлено преломлением этих волн на границе оболочки — ядро.

по отношению к сейсмическим лучам как преломленная линза (рис. 1).

Согласно данным, полученным сейсмологией, Земля разделяется на три основные области: кору, оболочку и ядро. Кору отделяется от оболочки резкой сейсмической границей, на которой скорость скачкообразно изменяется (возрастает скорости v_p и v_s и плотность ρ). Эта граница была открыта в 1909 г. югославским сейсмологом Мохоровичичем и ее называют границей Мохоровичича или границей M . В связи с этим открытием земная кора получила четкое определение: земной корой называют наружный слой Земли, расположенный выше границы M . Толщина земной коры нерегулярна, она изменяется от ~10 км (с учетом толшины воды) в океанических областях до нескольких десятков километров в горных районах континентальных областей. Вклад земной коры в полную массу Земли и ее момент инерции мал, поэтому обычно при рассмотрении Земли в целом земную кору представляют в виде однородного слоя эффективной толщиной ~35 км. Нике коры в интервале глубин 35–2898 км расположена силикатная оболочка, или

мантия¹⁾. Наконец, центральная часть Земли, расположенная в интервале глубин 2898–6371 км, образует ядро Земли. То, что в Земле должно быть ядро, плотность которого заметно превосходит плотность наружной силикатной оболочки, ученыые понимали уже в конце прошлого века. Рассуждали при этом так. Плотность наружных пород коры равна ~2,8 г/см³ (граниты) и

~3,0 г/см³ (базальты), а средняя плотность Земли, равна 5,5 г/см³, намного больше. Следовательно, у Земли должно быть тяжелое ядро. В то же время были известны железные метеориты (плотность железа при нормальных условиях 7,85 г/см³), что и послужило поводом для выдвижения гипотезы о существовании железного ядра Земли.

Сейсмическая граница на глубине 2898 км между оболочкой и ядром Земли (и, таким образом, земное ядро) была открыта немецким сейсмологом Гутенбергом в 1914 г. Эта граница не имеет специального названия, хотя с полным основанием ее можно назвать границей Гутенберга, или границей Г. Граница оболочки — ядро является наиболее резкой границей раздела в недрах Земли. Она сильно отражает объемные Р- и S-волны и сильно преломляет Р-волны. На этой границе скорость Р-волни (v_p) скачком падает от значения 13,6 км/сек в оболочке до значения 8,1 км/сек в ядре, скорости поперечных волн соответственно уменьшаются от 7,3 км/сек до нуля; плотность, наоборот, возрастает от 5,5 до 10 г/см³. Тот факт, что земное ядро не пропускает через себя поперечные волны S, скорость которых в нем v_s равна нулю, означает, что модуль сдвига ядра и также равен нулю. Следовательно, земное ядро является жидким. Этот фундаментальный вывод сейсмологии подтверждается и всеми остальными геофизическими явлениями, имеющими отношение к земному ядру. Данные сейсмологии указывают на то, что оболочка и ядро Земли обладают определенной «тонкой» структурой. Эта структура видна на рис. 2, на котором показана сейсмическая модель Земли, т. е. распределение скоростей (Р- и S-волни) с глубиной.

В соответствии с данными сейсмологии земные недра разделяются на восемь характерных областей — зон. Эти

¹⁾ Термины «оболочка» и «мантия» — синонимы. В геофизике чаще употребляют термин «оболочка», в геологии — «мантия».

зоны обозначаются заглавными буквами латинского алфавита $A, B, C, D(D', D'')$, E, F, G . Зона A ($0-33$ км) — земная кора; зона B ($50-350$ км) — полковая зона, слой пониженных скоростей; зона C ($350-1000$ км) — переходный слой, зона аномального быстрого возрастания скоростей P - и S -волн; зона D разделяется на зону D' ($1000-2700$ км) — зону нормального возрастания скоростей за счет давления выплекающих слоев и зону

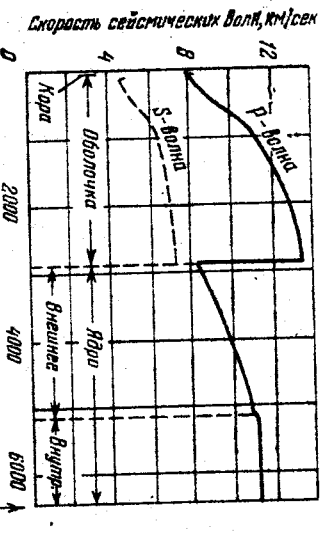


Рис. 2. Скорости волн P и S внутри Земли. Классическая сейсмическая модель Земли Дюверноля — Гетеберга. Построена в конце 30-х гг. Основанная на замешенной до конца 60-х гг.

D'' ($2700-2900$ км) — узкую граничную зону оболочки с ядром, которая характеризуется постоянством скорости P - и S -волн; зона E ($2900-4980$ км) — жидкое внешнее ядро, зона F ($4980-5120$ км) — переходная зона ядра, зона G ($5120-6471$ км) — твердое внутреннее ядро Земли. В самое последнее время точность сейсмических наблюдений была заметно提高ена за счет перехода от наблюдений на изолированных сейсмических станциях к наблюдениям сотен сейсмических станций, расположенных вдоль определенных направлений. В результате появились указания на существование разрывов в распределении скоростей P - и S -волн в оболочке Земли. С наибольшей определенностью выявлены две границы: одна в интервале глубин $400-450$ км, другая на глубинах $600-700$ км. Наконец, в настоящее время получены данные, указывающие на то, что внутреннее ядро Земли находится в твердом состоянии. Более подробно обо всем этом будет сказано в разделе, посвященном современным реальным моделям Земли.

16

Особенности распределения скоростей сейсмических волн в недрах Земли объясняются следующим образом. При переходе от земной коры (граниты, базальты) к оболочке (ультрасловные горные породы) скорость возрастает скачком. В подкоровой зоне расположены слои пониженных скоростей, что связано с близостью температуры недр в этом слое к температуре плавления. В зоне C скорость быстро растет из-за фазовых переходов минералов в более плотные и более жесткие в механическом отношении модификации. Затем следует однородный слой D , где скорости растут лишь за счет сжатия от давления выплекающих слоев. На границе с ядром имеется небольшое плато скоростей, причина появления которого до конца не понята. Падение скорости P -волны при переходе из оболочки в ядро связано с тем, что ядро жидкое и состоит из более плотного вещества. Оказалось, что модули сжатия K для оболочки и ядра на их границе примерно равны, а плотность оболочки ρ_o (2898) $= 5,6 \text{ г/см}^3$ заметно меньше плотности ядра ρ_n (2898) $= 10 \text{ г/см}^3$.

Земное ядро состоит в основном из железа и небольшой примеси легких элементов. Вероятно, оно содержит в виде примеси серу и, может быть, кремний, но вопрос этот все еще остается дискуссионным. Во внутреннем ядре возрастание скорости P -волн происходит плавно и обусловлено ростом давления к центру Земли. Определение детального изменения скорости в переходной зоне ядра в классической сейсмологии оставалось нерешенной задачей. Ясно только, что скорость в этой зоне Земли возрастает, а само возрастание обусловлено переходом вещества из расплавленного состояния к твердому, кристаллическому состоянию. Скорость продольных волн во внутреннем ядре почти не меняется, так как давление в этой области Земли возрастает очень слабо.

1.2. СЕЙСМИЧЕСКИЕ ВОЛНЫ¹⁾

Объемные продольные P - и поперечные S -волны были открыты теоретически Пуассоном в 1828 г. при создании теории упругости. Пуассон показал, что в упругой

¹⁾ Сейсмическим волнам посвящена специальная книга Е. Ф. Саваренского «Сейсмические волны». — М.: Недра, 1972; см. также Буллен К. Е. Введение в теоретическую сейсмологию. — М.: Мир, 1966.

изотропной среде могут распространяться два типа сдвиговых волн со скоростями v_p и v_s соответственно. Открытие (идентификация на сейсмограммах) P - и S -волн было сделано английским сейсмологом Олдемом только в 1901 г., причем проблемы, которые приходилось преодолевать в то время, теперь даже трудно себе представить. Мы не говорим о несовершенных сейсмографах той эпохи, но даже такая «очевидная вещь», как возрастание скорости P - и S -волн с глубиной, явилась для пионеров сейсмологии неожиданностью.

В сейсмологии экспериментально определяют голограф — время пробега сейсмических волн T как функцию апилатерального расстояния Δ (расстояние в градусах или километрах по дуге большого круга между эпикентром и приемником волн, для Земли 1° соответствует ~ 111 км). Ясно, что функция $T = T(\Delta)$ должна быть связана с распределением скорости с глубиной $v(l)$ (l — глубина), поиск которой и представляет основной интерес для проблемы внутреннего строения Земли. Примерно через десять лет после идентификации P - и S -волн немецкие сейсмологи Герголц и Вихерт разработали аналитический метод определения искомых функций $v_p(l)$ и $v_s(l)$ по экспериментальным кривым $T_p(\Delta)$ и $T_s(\Delta)$. Развитие классической сейсмологии связано с трудами многих ученых и нашло свое завершение в конце тридцатых годов в работах Джейффриса и Гутенберга.

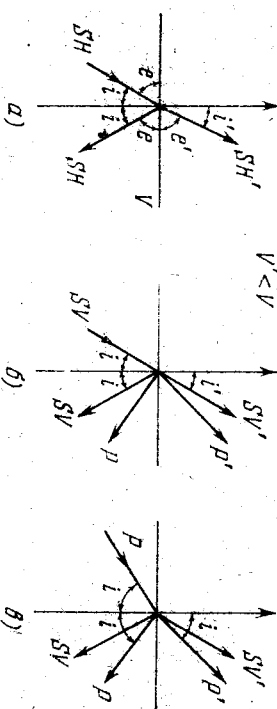


Рис. 3. Схема отражения и преломления сейсмических волн на границах раздела внутри Земли.

При отражении сейсмических волн от поверхности Земли и при отражении и преломлении на резких границах раздела внутри Земли (например, на границе раздела оболочки — ядро) продольные волны P порождают поперечные

волны S и наоборот (рис. 3). В результате возникает большое разнообразие типов путей сейсмических волн в недрах Земли. Границы раздела в недрах Земли как бы анализируют сейсмические импульсы, которые их пересекают или отражаются (как это имеет место на внешней поверхности Земли). Так, импульс поперечной волны на границе разделяется на поперечные волны двух типов. В поперечной волне типа SH вектор смещения лежит в плоскости границы раздела. Особенностью SH -волн является то, что они не интерферируют с продольными P -волнами и поперечными SV -волнами, вектор смещения которых лежит в плоскости луча (плоскость, содержащая луч и перпендикулярную к границе). В результате при прохождении границы SH -волна дает преломленную и отраженную волны только типа SH (рис. 3, a), а падение SV - (рис. 3, б) и P -волн (рис. 3, в) в общем случае дает четыре волны: отраженные и преломленные SV' - и P' -волны каждая. Так появляются так называемые обменные волны. Для каждого типа волны при прохождении границы отношение синуса угла падения i к скорости v остается постоянным $\left(\frac{\sin i}{v} = \text{const}\right)$. Отсюда получается, что угол падения равен углу отражения и отношение синуса угла падения к синусу угла преломления равно отношению скоростей волн по обе стороны границы. Угол $e = \frac{\pi}{2} - i$ называется углом выхода.

На сейсмограмме обычно регистрируется ряд фаз, каждая из которых связана с распространением волн по определенному типу пути. Стандартные обозначения различных типов лучей (и соответственно фаз на сейсмограммах) показаны на рис. 4. Так, продольная волна, испущенная из очага в сторону от земной поверхности обозначается буквой P . После первого отражения от земной поверхности она может остаться продольной волной (обозначается PP) или перейти в поперечную волну (PS). Аналогичный смысл имеют волны S , SS и SP и т. д. Символ C употребляется для указания на отражение волны от границы земного ядра. Так получают для обозначения отрезка пути волны (P -типа) во внешнем жидким ядре. Так, фаза PKS соответствует волне, которая стартовала как P -волну, проплыла во внешнее земное ядро снова как P -волну, а затем преломилась из ядра

в оболочку, перейдя при этом в волну S -типа, и уже несется вперед, изменяясь, выпадая на земную поверхность. Буква i указывает на отражение волны вверх от границы внутренней среды, а буквы I и J обозначают участки пути волн P и S в твердом внутреннем ядре Земли. Так возникают фазы

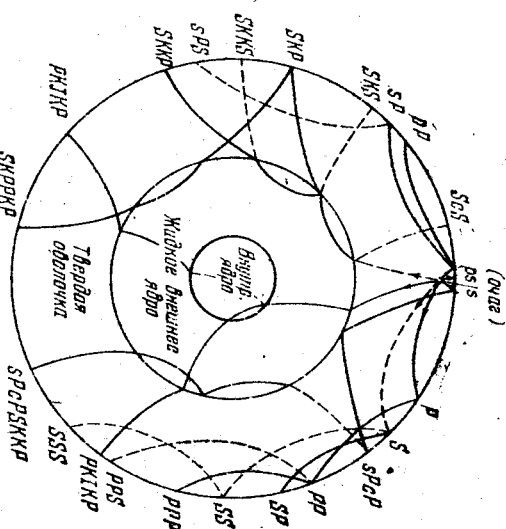


Рис. 4. Обозначения лучей (фаз) в небрах Земли.

RKiKP, *RKIKP*, *RKJKR*. Годографы Джейффриса для некоторых фаз показаны на рис. 5.

На сейсмограммах выявлены сотни различных фаз, которые используются при современных построениях моделей Земли. О чём говорят гидографы ряда простейших фаз, показанные на рис. 5? Пусть сейсмограф расположены на эпицентральном расстоянии $\Delta = 60^\circ$. Первый он зарегистрирует прямую P -волну, затем волну PsP (P -волну, отраженную от земного ядра), далее на сейсмограмме появится волна PP (продольная волна, один раз отразившаяся от поверхности Земли), за волной PP будет записана первая поперечная волна PsS (обменная волна, возникающая при отражении прямой P -волны от ядра Земли), наконец приходит прямая S -волна. Так как скорости P - и S -волн связаны приближённым соотношением $v_p = 1.7v_s$, то время пробега S -волн T_s легко оценить по T_p , именно $T_s \approx 1.7T_p$. Затем последовательно вступают поперечные волны ScS и SS , отраженные от ядра и по-

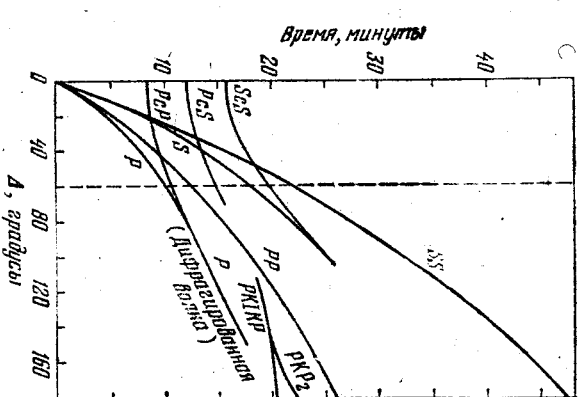


Рис. 5. Времена пробега как функции эпцентрального расстояния (гомографы) для расположенного на поверхности очага землетрясения.

тени наблюдается слабая дифрагированная вдоль граници земного ядра P -волна. Это «незаконная» волна, так как само явление дифракции связано с нарушением законов геометрической оптики, когда при отбивании препятствий сейсмические волны перестают распространяться вдоль лучей и проявляется волновая природа сейсмических колебаний. Зона тени для прямых P -волн протягивается до $\Delta \approx 142^\circ$, когда впервые появляются волны PK_2 , прошедшие через внешнее жидкое ядро. Наконец, последний голограф, показанный на рис. 5,— это фаза $PKIKP$,— продольная волна, появляющаяся в зоне тени P -волны на эпигеографическом расстоянии $\Delta \approx 110^\circ$. Эта фаза

верхности Земли. На эпидцентральных расстояниях $\Delta > 80^\circ$ прямые и отраженные волны P и PcP (S и ScS) становятся 'ближними' и постепенно накладываются одна на другую. На эпидцентральных расстояниях $\Delta \geq 103^\circ$ проходят прямые S - и P -волны. Это зона 'тени' от земного ядра. Для пропольных P -волн зона тени и механизм ее образования хорошо виден на рис. 1. Правда, в зоне

обязана своим существованием твердому внутреннему ядру, сильные преодолевающие свойства которого и «ка-вернули» луч РКИР в зону тени. Обнаружение этой «неожиданной» фазы на сейсмограммах в зоне тени привело в 1936 г. латского сейсмолога мисс Леман к открытию внутреннего ядра Земли.

До сих пор мы все свое внимание сосредоточили на объемных сейсмических волнах, а о поверхностных волнах только упомянули. Поверхностные волны широко используются для исследования наружных слоев Земли (коры, верхней мантии). Поверхностные волны, так же как и объемные, бывают двух типов: они получили название волн Рэлея и волн Лява. Эти волны были теоретически изучены Рэлем в 1885 г. и Ляном в 1911 г. На сейсмограммах все сейсмические волны были обнаружены в самом конце прошлого века, причем записи поверхностных сейсмических волн Лява оставались непопытами до опубликования теоретической работы Лява в 1911 г. В рэлеевской волне смещение частиц почвы лежит в вертикальной плоскости, а сами частицы описывают эллипс, двигаясь против часовой стрелки. Движение частиц в волне происходит так, что они как бы накатываются на

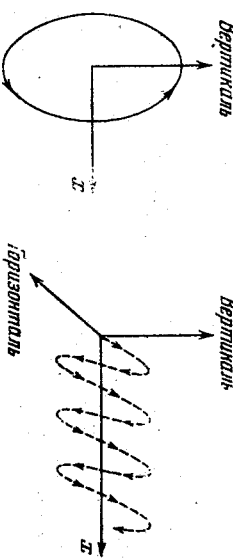


Рис. 6. Смещения в поверхностных волнах Рэлея и Лява. x — направление распространения волны

источник волны (рис. 6). В отличие от волн Рэлея, в волнах Лява смещение частиц происходит в горизонтальной плоскости перпендикулярно к направлению распространения волны. В поверхностных волнах величина смещения максимальна по поверхности и быстро (экспоненциально) убывает с ростом глубины. В связи с этим с помощью поверхностных волн можно эффективно изучать (зондировать) Землю до глубин, равных примерно одной трети их длины волны. Длины поверхностных волн, возбужда-

мых при землетрясениях, лежат в интервале от десятков до многих сотен километров. Поэтому методом поверхностных волн можно исследовать наружные слои Земли толщиной в сотни километров. Поверхностные волны от особо сильных землетрясений столь интенсивны, что они по несколько раз обегают вокруг земного шара. Такие интенсивные волны позволяют получить много информации о недрах планеты без использования большого числа приборов. Следовательно, они очень удобны при сейсмических зондированиях на Луне и планетах. С помощью поверхностных волн получено много интересных результатов. Они позволили довольно детально изучить расположение слоя пониженных скоростей в верхней мантии Земли, строение земной коры континентального и океанического типов и ряд других региональных деталей наружных слоев Земли.

Наряду с объемными волнами при построении современных моделей Земли используются поверхностные волны и наблюдаемые значения периодов собственных колебаний Земли (см. гл. 3). Если скорости объемных волн практически не зависят от частоты $\omega = \frac{2\pi}{T}$ (T — период), то скорости поверхностных волн, которые распространяются вдоль земной поверхности, обнаруживают заметную дисперсию. Это свойство поверхностных волн и используется для изучения строения наружных слоев Земли. Поверхностные волны характеризуются двумя типами скоростей: — фазовыми C и групповыми U , каждую из которых можно измерить экспериментально. Фазовая скорость определяется как скорость распространения монохроматической гармоники поверхности волны. При землетрясениях паверзах большей частью возникают не монохроматические волны, а некоторые импульсы, представляющие группы волн — волновые пакеты. Скорость переноса энергии таким волновым пакетом называется групповой скоростью. При отсутствии дисперсии фазовая скорость не отличается от групповой, обе скорости просто равны. Зависимости фазовых $C_j(T)$ и групповых $U_j(T)$ скоростей от периода поверхностной волны T называют дисперсионными кривыми. Индекс j указывает номер ветви (или, как часто говорят, моды) функций $C_j(T)$ и $U_j(T)$ поверхностной волны ($j = 1$ — первая или основная мода, $j = 2$ — вторая мода и т. д.). В поверхностных волнах, принадлежащих к первой моде, смещение, как функция

глубины, не имеет узлов, для второй моды смещение как функция глубины имеет один узел (т. е. обращается в нуль и далее с ростом глубины меняет знак) и т. д. Изучение наружных слоев Земли основано на сравнении рассчитанных теоретически дисперсионных кривых для полученных из наблюдений кривыми $C_j(T)$ и $U_j(T)$. В качестве примера на рис. 7 показаны дисперсионные

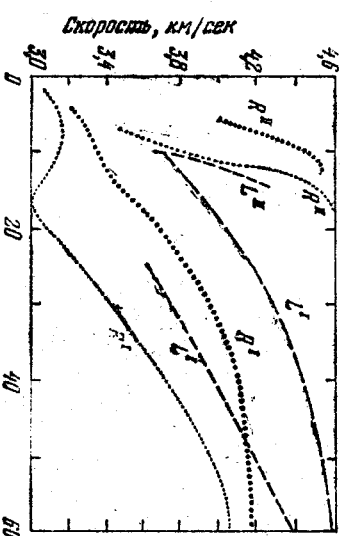


Рис. 7. Дисперсионная кривая для континентального региона (Канадский щит). Малыми точками и штрихами обозначены групповые скорости волн Рэлея и Лава, крупными точками и штрихами — соответствующие фазовые скорости. R^1, L^1 относятся к первой моде волн Рэлея и Лава, R^2, L^2 — ко второй моде волн Рэлея и Лава и т. д. Мощность коры до границы

крайние для континентального региона (Канадский щит). Мы видим, сколь сильна дисперсия скоростей волн Лава и Рэлея и это как раз и делает метод поверхности волн мощным средством изучения наружных слоев Земли. Сейсмология является важнейшим разделом геофизики. В сейсмологии все результаты получаются путем анализа записей сейсмических волн — сейсмограмм (рис. 8). Интересно дать ответ на следующий вопрос: почему запись сигнала на земной сейсмограмме (рис. 8, а) имеет протяженность порядка минут и десятка минут, а на лунной сейсмограмме (рис. 8, б) — несколько часов, хотя само событие — землетрясение, взрыв, удар отработанной ступени ракеты-носителя о лунную поверхность — длится всего секунды или даже доли секунды? Интересно, что длина записи на лунной сейсмограмме вначале была встречена как сенсация. Сейчас этот вопрос прояснился,

и параллельно большая ясность достигнута в понимании земных сейсмограмм, хотя выяснение каждого вопросашло своим путем.

Если ударить в колокол, то все пространство вокруг наполнится звуком. По существу, то же самое происходит



Рис. 8. Земная (а) и лунная (б) сейсмограммы. а) Земная сейсмограмма, записанная на эпилатеральном расстоянии $\Delta = 34^\circ$ (3740 км), спиралью по часам, начиная с записи прямых P- и S-волн и начиная записи поверхностных волн (L), после которых записываются рассеянные волны (коila). Согласование времени пробега равны: $T_p = 6$ мин. 40 сек., $T_s \approx 12$ мин. 1972 г. на одном из помповых Альминогорского сейсмометра с максимальной чувствительностью около 0,45 εγ. Показана часть записи длиной чуть больше полугода часов.

и в Земле после землетрясения или искусственного взрыва: недра Земли заполняются «земным звуком» — сейсмическими волнами. Однако эта аналогия является не полной. После удара колокола звук от него расходится в виде продольных сферических волн, так как в воздухе (так же как и в жидкости) поперечные волны звуковых частот не существуют. Волна от колокола уходит в «бесконечность» и этим собственно дело и кончается. В случае возбуждения сейсмических волн ситуация более сложная. Прежде всего внешняя половина Земли твердая и в ней при «ударе» возбуждаются как продольные, так и поперечные волны, причем скорости распространения этих волн различны. На границах раздела внутри Земли объемные сейсмические волны испытывают преломление и отражение, проходя обменные волны. В результате число

различных типов сейсмических лучей быстро растет. В дополнение к объемным сейсмическим волнам возбуждаются различные типы поверхностных волн, которые распространяются по различным поверхностным трассам и из-за сильной дисперсии скоростей волновой пакет поверхности волн со временем расплывается. Далее, хотя Земля и велика, но для сейсмических лучей она является конечным, а не «бесконечным» телом. Сейсмические лучи из-за преобразования небольшой доли их энергии в тепло постепенно затухают. О затухании сейсмических волн бывает сказано ниже, а пока что отвлечемся от этого эффекта. Тогда конечность Земли проявится в том, что сейсмические волны будут распространяться от одной «точки» внешней поверхности к другой, так что недра Земли заполняются «сейсмическим звуком». Нарисованная нами в общих чертах картина распространения сейсмических волн все еще заметно упрощена, так как мы не учитываем рассеивающие свойства земных недр. Земля не прозрачна, как стекло! Некоторые ее зоны являются сейсмически мутной средой. В результате реальное строение Земли и конечность ее размеров приводят к тому, что сейсмический сигнал, время возбуждения которого порядка секунды, регистрируется на сейсмограммах в течение минут и десятков минут. Эти эффекты с особой силой проявились на лупных сейсмографах (см. рис. 8, 6). Причины этого следующие. Во-первых, Луна в четыре раза меньше Земли. Во-вторых, коэффициент поглощения сейсмических волн в недрах Луны на порядок меньше, чем в недрах Земли. Наконец, наружный 25-километровый слой Луны сильно неоднороден, хорошо рассеивает сейсмические волны, что, по существу, усиливает путь сейсмических лучей. Из-за всего этого наружный слой Луны долго «держит» сейсмическую энергию, а это затягивает сейсмическую запись.

Ранние сейсмограммы, записанные после сильных землетрясений на удаленных станциях, $\Delta > 20^\circ$ (в телесейсмической зоне), делились как бы на две части. Первая часть начиналась со вступления прямых P -волн и начиналась записью поверхностных волн (эти волны на записи имеют большие амплитуды), а вторая часть сейсмограммы, ее хвост, не использовалась для интерпретации и для ее обозначения применялся термин «код». Теперь более правильно интерпретировать сейсмограмму, разделяя на правильной систематически записи регулярных и нерегулярных

(рассеянных) волн. Термин «кода» разумно отнести к рассеянным волнам, связанным с конкретной фазой. Поэтому можно сказать так. Вначале записывается импульс прямой P -волны, затем записывается рассеянные волны фазы P — ее кода, далее вступает следующая фаза, которая записывается на затухающем хвосте коды P -фазы, вторая фаза сопровождается своей кодой и т. д.

Правильная интерпретация рассеянных волн по сейсмограммам, осуществленная в последние годы, явилась крупным достижением. По этой интерпретации у края мантии на границе с корой и у ее подошвы на границе с ядром расположены зоны повышенной горизонтальной неоднородности. Мощность этих слоев еще недостаточно хорошо определена и может достигать примерно 200 км. Горизонтальные отклонения скорости от среднего значения порядка одного процента. Эти зоны, если считать сверху вниз, можно назвать первой и второй рассеивающими зонами оболочки Земли. Сама определения пока находятся в стадии становления.

Правильная интерпретация рассеянных волн по сейсмограммам, осуществленная в последние годы, явилась крупным достижением. По этой интерпретации у края мантии на границе с корой и у ее подошвы на границе с ядром расположены зоны повышенной горизонтальной неоднородности. Мощность этих слоев еще недостаточно хорошо определена и может достигать примерно 200 км. Горизонтальные отклонения скорости от среднего значения порядка одного процента. Эти зоны, если считать сверху вниз, можно назвать первой и второй рассеивающими зонами оболочки Земли. Сама определения пока находятся в стадии становления.

Правильная интерпретация рассеянных волн по сейсмограммам, осуществленная в последние годы, явилась крупным достижением. По этой интерпретации у края мантии на границе с корой и у ее подошвы на границе с ядром расположены зоны повышенной горизонтальной неоднородности. Мощность этих слоев еще недостаточно хорошо определена и может достигать примерно 200 км. Горизонтальные отклонения скорости от среднего значения порядка одного процента. Эти зоны, если считать сверху вниз, можно назвать первой и второй рассеивающими зонами оболочки Земли. Сама определения пока находятся в стадии становления.

Правильная интерпретация рассеянных волн по сейсмограммам, осуществленная в последние годы, явилась крупным достижением. По этой интерпретации у края мантии на границе с корой и у ее подошвы на границе с ядром расположены зоны повышенной горизонтальной неоднородности. Мощность этих слоев еще недостаточно хорошо определена и может достигать примерно 200 км. Горизонтальные отклонения скорости от среднего значения порядка одного процента. Эти зоны, если считать сверху вниз, можно назвать первой и второй рассеивающими зонами оболочки Земли. Сама определения пока находятся в стадии становления.

Правильная интерпретация рассеянных волн по сейсмограммам, осуществленная в последние годы, явилась крупным достижением. По этой интерпретации у края мантии на границе с корой и у ее подошвы на границе с ядром расположены зоны повышенной горизонтальной неоднородности. Мощность этих слоев еще недостаточно хорошо определена и может достигать примерно 200 км. Горизонтальные отклонения скорости от среднего значения порядка одного процента. Эти зоны, если считать сверху вниз, можно назвать первой и второй рассеивающими зонами оболочки Земли. Сама определения пока находятся в стадии становления.

Правильная интерпретация рассеянных волн по сейсмограммам, осуществленная в последние годы, явилась крупным достижением. По этой интерпретации у края мантии на границе с корой и у ее подошвы на границе с ядром расположены зоны повышенной горизонтальной неоднородности. Мощность этих слоев еще недостаточно хорошо определена и может достигать примерно 200 км. Горизонтальные отклонения скорости от среднего значения порядка одного процента. Эти зоны, если считать сверху вниз, можно назвать первой и второй рассеивающими зонами оболочки Земли. Сама определения пока находятся в стадии становления.

Во-первых, волна теряет энергию при прохождении границы раздела, проплыть на несколько волн.

Вторая причина ослабления волн носит чисто геометрический характер и называется геометрическим расхождением. Этот эффект легко понять. Окружили источник концентрическими сферами. Поток сейсмической энергии, проекающий через поверхность каждой сферы, одинаков, а площадь поверхности сферы растет как квадрат радиуса, следовательно, энергия убывает обратно пропорционально квадрату расстояния до источника. Так как амплитуды пропорциональны квадрату ее амплитуды, то пропорционально первой степени расстояния до источника. Уменьшение энергии поверхностных сейсмических волн из-за геометрического расхождения обратно пропорционально первой степени расстояния от источника; соответственно амплитуда поверхностной волны спадает обратно пропорционально корню квадратному из расстояния до источника. Опять-таки этот результат получается из-за цилиндрической симметрии поверхностных волн и если источник окружить коаксиальными цилиндрами, то сразу получим искомые зависимости. Из-за эффекта геометрического расхождения на больших эпилентальных расстояниях интенсивность поверхностных волн становится больше, чем объемных, что хорошо видно на сейсмограмме (см. рис. 8, a).

Следующими двумя причинами, ослабляющими сейсмические волны, являются эффект рассеяния из-за «мутности» среды, о которой мы говорили выше, и эффект преобразования упругой энергии волн в тепло из-за неидеальной упругости земных недр. Оба эти эффекта действуют совместно и их трудно разделить экспериментально. Запишем смещение в какой-либо волне в виде монохроматической затухающей гармоники

$$A(r, t) = A_0 r^n e^{-(\alpha_p + \alpha_d)r} \cos 2\pi f(t - \frac{r}{C}),$$

где r — расстояние от источника, t — время, $n = -1$ для объемной волны, $n = -\frac{1}{2}$ для поверхностной волны, f — частота, C — фазовая скорость, A_0 — амплитуда волны в источнике, α_p — коэффициент рассеяния, α_d — коэффициент поглощения из-за неупругой диссипации, $\alpha = \alpha_p + \alpha_d$ — коэффициент затухания гармонической бегущей

волны. Величина α_p может быть сложной функцией частоты.

В большей части земных недр $\alpha_d \gg \alpha_p$. Однако в зонах Земли с повышенными рассеивающими свойствами величина α_p может быть достаточно большой и из-за того, что экспериментально определяют сумму $(\alpha_d + \alpha_p)$, она может маскировать определение α_d с помощью сейсмических волн. Коэффициент α_p простым соотношением связан с механической добротностью среды Q :

$$\alpha_{(k)} = \frac{\pi \cdot f}{v_{(k)} Q_{(k)}}, \quad k = P \text{ или } S, \quad \frac{Q_p}{Q_S} \approx 2,3, \quad (3)$$

где индексы P и S относятся к объемным P - и S -волнам. Механическая добротность Q связана простой формулой с долей упругой энергии $\Delta E/E$, переходящей в тепло за колебательный цикл:

$$\frac{2\pi}{Q} = \frac{\Delta E}{E}, \quad (4)$$

поэтому величину Q^{-1} часто называют диссипативной функцией. Распределение механической добротности в недрах Земли удаётся определить по затуханию собственных колебаний Земли (см. гл. 3). Величина Q может измеряться также в лабораторных условиях на образцах горных пород и минералах. Как лабораторный эксперимент, так и геофизический опыт показывают, что в первом приближении можно считать величину Q не зависящей от частоты. Отсюда сразу вытекают важные для сейсмологии выводы. Пусть $\alpha_d \gg \alpha_p$. Выразим коэффициент затухания α через механическую добротность: $\alpha_S \approx \alpha_{(S)} = \frac{\pi f}{v_S Q_S}$; аналогичную формулу получим для продольных волн P . Мы видим, что затухание сейсмических волн очень сильно (экспоненциально) зависит от частоты. Из-за этого в Земле короткие волны затухают значительно быстрее, чем длинные. Далее, так как $v_p Q_p \approx 1,7 \cdot 2,3 \cdot v_S Q_S \approx 3,9 v_S Q_S$, то продольные волны в Земле затухают слабее, чем поперечные. В коре и мантии Земли величина Q_S варьирует в широких пределах $100 \leq Q_S \leq 1000$, а для ядра Земли $Q_p \gg 1000$. Оценим средний коэффициент затухания объемных сейсмических волн в мантии Земли. Для этого воспользуемся формулой (3), в которой положим

$$v_S \sim 6 \text{ км/сек}, \quad Q_S \sim 5 \cdot 10^3.$$

Тогда

$$\bar{\alpha}_{\text{ЛВ}} \sim 1 \cdot 10^{-3} T^{-1}, \quad \bar{\alpha}_{\text{ЛР}} \sim 2,5 \cdot 10^{-4} T^{-1},$$

где T в сек, а α в км^{-1} .

Периоды объемных сейсмических волн лежат в диапазоне $T \sim (0,1 \div 10)$ сек. Следовательно, из-за диссипации уменьшение амплитуды поперечной волны в e раз с периодом ~ 1 сек происходит на пути в 1000 км, а такое же затухание продольной волны с тем же периодом происходит на пути в ~ 4000 км.

13. СЕЙСМИЧНОСТЬ ЗЕМЛИ

Землетрясения возникают как следствие тектонической жизни Земли. Их изучение весьма важно для физики Земли и представляет собой одну из основных задач сейсмологии. Исследование землетрясений связывает геофизику с геологией, способствуя подведению количественной базы для суждения о деформациях земной коры.

Классический труд Б. Гутенберга и Ч. Рихтера «Сейсмичность Земли» (первое издание выпущено в США в 1941 г., русский перевод — М.: ИЛ, 1948 г.) явился фундаментальной спиралью, в которой было подытожено распределение землетрясений по энергии, их связь с региональными особенностями земной поверхности и их географическое распределение. С тех пор все эти особенности обозначают одним словом «сейсмичность».

Впервые сейсмическую энергию землетрясений по порядку величины по данным одной сейсмической станции рассчитал в 1915 г. Б. Б. Голицын. При этом было сделано предположение, что сейсмические волны из очага излучаются симметрично по всем направлениям.

Однако прошло еще 20 лет, прежде чем Чарльз Рихтер в 1935 г. ввел понятие магнитуды землетрясения — критического понятия для обсуждаемой нами темы. Вот как сам автор в своей книге «Элементарная сейсмология» описывает ситуацию, в которой был сделан этот шаг:

«Идея создания шкалы величин или магнитуд землетрясений, основанной исключительно на инструментальных записях, естественным образом возникла из опыта работников сейсмических станций. Каждый, кто длительное время работал на сейсмической станции, не замечает того огромного несоответствия, которое иногда существует между степенью беспокойства или страхом

людей, вызываемого землетрясением, и истинным характером землетрясения, о котором можно объективно судить по сейсмограммам. Слабый толчок, опущенный в лентре Лос-Анджелеса, может привести к непрерывным телефонным звонкам на сейсмической станции Пасадена на протяжении полусятка, в то время как сильное землетрясение в отдаленных частях океана иногда проходит незамеченным, исключая записи сейсмографов, и в результате о нем появляются одна или две строчки в конце газетной страницы..»

Было очень трудно убедить некоторых лиц в южной Калифорнии, что разрушительное землетрясение Лонг-Бич 1933 г. было второстепенным событием по сравнению с калифорнийским землетрясением в 1906 г.¹⁾. Подобное недопонимание стало опасным, когда было публично заявлено, что в южной Калифорнии уже произошло катастрофическое землетрясение в 1933 г., и что в течение многих лет не следует ожидать сильных толчков, так что поэтому якобы можно ослабить меры предосторожности».

Таким образом, необходимо было решить двоякую задачу. С одной стороны, для научных целей нужно было разработать сравнительно простой и объективный способ оценки энергии землетрясения. С другой стороны, для чисто практических целей было необходимо объективно и количественно охарактеризовать сейсмический режим того или иного региона, чтобы с большей надежностью прогнозировать сейсмическую опасность. Здесь же видно, что необходимо делать различие между разрушительным действием землетрясения, характеризуемым его балльностью, и реальной величиной энергии землетрясения, характеризуемой магнитудой [см. формулы (5) и (6)]. В настоящее время используется двенадцатбалльная шкала балльности. Вообще говоря, существует качественная связь между шкалой магнитуд и шкалой балльности (или интенсивности) воздействия сейсмических волн на сооружения). Практическое значение установления балльности данной местности (сейсмическое районирование), исключительно велико, так как это определяет стоимость строительства. Эти вопросы рассматриваются в специальных руководствах.

¹⁾ Магнитуда землетрясения Лонг-Бич (11 марта 1933 г.) была равна $M_s = 6,25$, а калифорнийского (18 апреля 1906 г.) $M_s = 8,3$ и согласно формуле (6) их энергии отличаются в тысячу раз. (Прим. авт.)

В настящее время магнитуду землетрясения M_s определяют по формуле

$$M_s = \lg \frac{a}{T} + f(\Delta, h) + C, \quad (5)$$

где a — амплитуда смещения почвы в микронах в поверхностных волнах с периодом T ($T \sim 20$ сек), Δ — эпинентальное расстояние, h — глубина очага землетрясения. Эмпирическая функция $f(\Delta, h)$ позволяет приводить все наблюдения к стандартному эпицентральному расстоянию $\Delta = 100$ км, а C представляет стандартную поправку, с помощью которой наблюдения тоже приводят к некоторому «стандартному» грунту. Логарифмическая шкала позволяет охватить огромный интервал изменений землетрясений одной формулой. Сильнейшие землетрясения характеризуются магнитудами большие восьми по шкале Рихтера. Так, катастрофическое чилийское землетрясение 22 мая 1960 г. имело магнитуду $M_s = 8,3$. Это землетрясение вошло в историю геофизики еще и потому, что после него впервые был зарегистрирован весь спектр собственных колебаний Земли. Магнитуды слабых толчков, которые все еще регистрируются, доходят до -3 .

Из предыдущего параграфа мы знаем, что смещение в поверхностных волнах быстро (по экспоненциальному закону) убывает с глубиной. С другой стороны, из теории колебаний известно, что трудно (или невозможно) возбудить колебание (волну), если источник возбуждения расположены в зоне малых смещений (в зоне уала колебаний). Интуитивно понятно, что нельзя раскачать волну, «шевелить» ее узел. Из-за этого глубокие землетрясения не возбуждают поверхностные волны¹). Это обстоятельство заставило Гутенберга ввести определение магнитуды по объемным волнам. Магнитуда по объемным волнам обозначается m и определяется по формуле, аналогичной (5), где период $T = 1$ сек. Между объемами магнитудами существует линейная связь. Так, для шкалы Гутенберга — Рихтера $m = 2,5 + 0,63 M_s$.

Легко видеть, что должна существовать связь между сейсмической энергией (энергией, переходящей в сейс-

ические волны) и магнитудой. Действительно, потенциальная энергия колебаний или волны пропорциональна квадрату амплитуды смещения (т. е. $E_s \sim a^2$), а кинетическая энергия пропорциональна квадрату амплитуды скорости (т. е. $E_s \sim \frac{a^2}{T^2}$). Для малых колебаний (а реальные сейсмические колебания, с позиций теории упругости, всегда малые) средняя кинетическая энергия равна средней потенциальной энергии. Вообще говоря, магнитуда M_s в (5) определена не по средней амплитуде спектра поверхностных волн, а лишь для некоторого выборочного периода $T \sim 20$ сек (длинные волны), а магнитуда m по выборочному периоду ($T \sim 1$ сек) объемных волн (короткие волны). Если бы сейсмическое излучение очага землетрясения состояло из монохроматической поверхностной волны с периодом $T \sim 20$ сек, то между логарифмом сейсмической энергии и магнитудой M_s существовало бы линейное соотношение $\lg E_s = A + BM_s$ с $B \sim 2$. Из-за того, что спектр излучения очага более сложен и из-за других причин, определенный на практике коэффициент $B = 1,5$. Таким образом,

$$\lg E_s = 11,8 + 1,5M_s, \quad (6)$$

где коэффициенты подобраны так, что E_s определяется в эргах. Согласно этой формуле сейсмическая энергия, освобождаемая при землетрясениях с $M_s = 8,3$, о которых мы говорили, равна $\sim 10^{24}$ эрг.

Гутенберг и Рихтер определили эмпирические соотношения для частоты повторяемости землетрясений различных магнитуд. Пусть N обозначает среднее число толчков в год, значения магнитуд которых лежат в интервале между M_s и $M_s + 0,1$. Тогда данные для всего земного шара в целом хорошо передаются зависимостями

$$\left. \begin{aligned} \lg N &= 8,2 - 1,1M_s, & M_s > 3, \\ \lg N &= 4,6 - 0,6M_s, & 5,8 < M_s < 7,3. \end{aligned} \right\} \quad (7)$$

Согласно приведенным формулам число землетрясений экспоненциально быстро возрастает с уменьшением магнитуды. Величина полной сейсмической энергии, выделяющейся в год, равна $\sim 10^{25}$ эрг, что составляет примерно 10^{-3} от теплового потока из недр Земли. Четыре пятых этой величины составляет энергия от толчков с $M_s \geq 7,9$,

¹) По глубине землетрясения классифицируются на полубогие (литосферные), $h < 70$ км, промежуточные (астеносферные), $h \sim (70+300)$ км и глубокие, $h > 300$ км. Глубже 720 км землетрясения не наблюдались. Глубоководные землетрясения были открыты в 1922 г. английским сейсмологом Тернером.

т. е. с $E_s \geq 10^{23}$ эрг. На рис. 9 показана карта эпицентров землетрясений с 1950 по 1960 г. с $M_s > 5$. Обращаем внимание на приуроченность большинства землетрясений к узким сейсмическим поясам. Географическое распределение

Гутенберг и Рихтер по сейсмичности выделили следующие важнейшие зоны земной поверхности:

1. Тихоокеанский кольцевой пояс со многими ответвлениями.

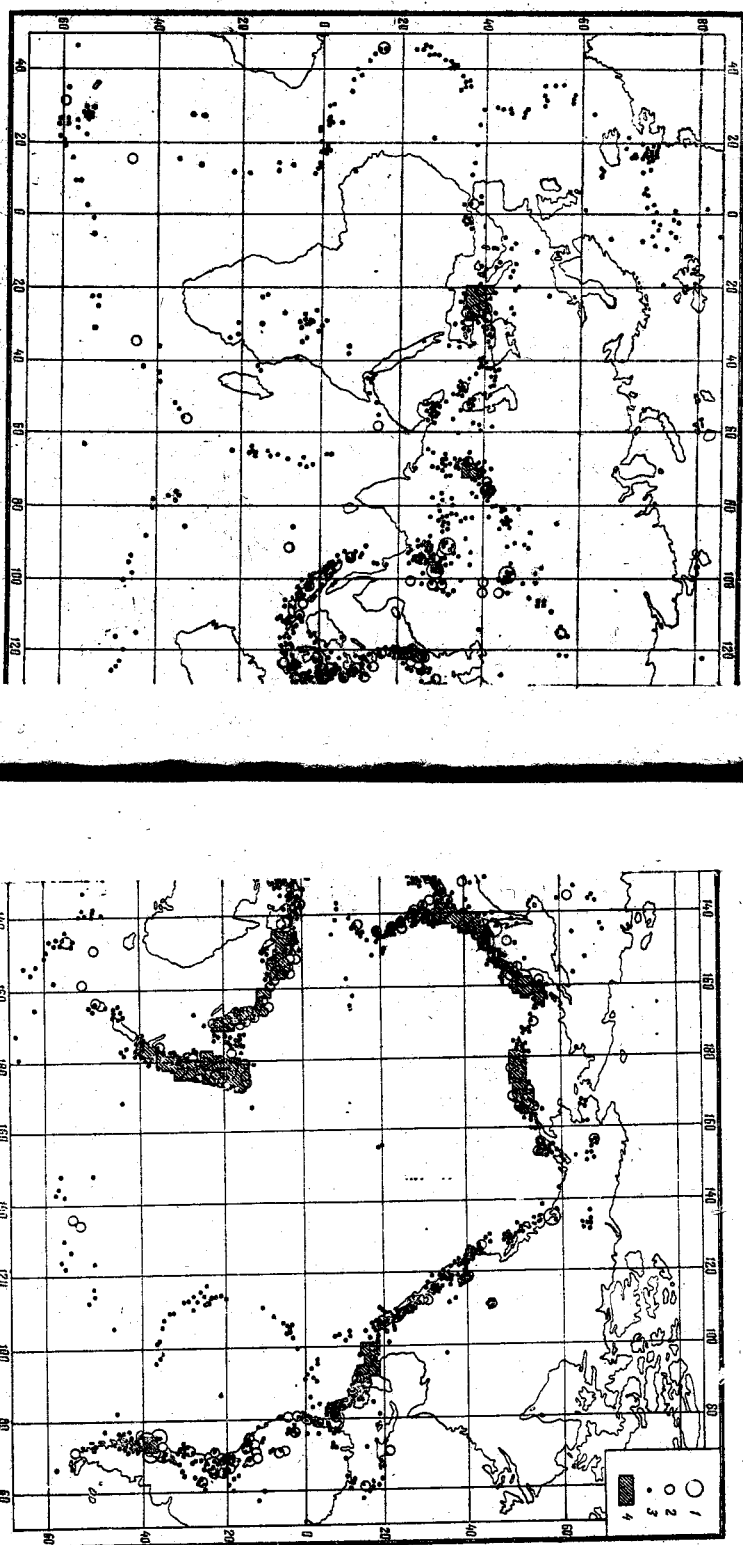


Рис. 9. Карта эпицентров землетрясений с 1950 по 1960 г. с $M_s \geq 5$. 1 — наибольшее число литосферных плит и создания новой губительной тектоники плит.

землетрясений явилось одним из оснований для разделения наружного литосферического слоя Земли на небольшое число литосферных плит и создания новой глобальной тектоники плит.

2. Альпийский пояс Европы; его можно рассматривать как одно из главных ответвлений Тихоокеанского пояса.
3. Памиро-Байкальская зона Центральной Азии.
4. Атлантическо-арктический пояс.

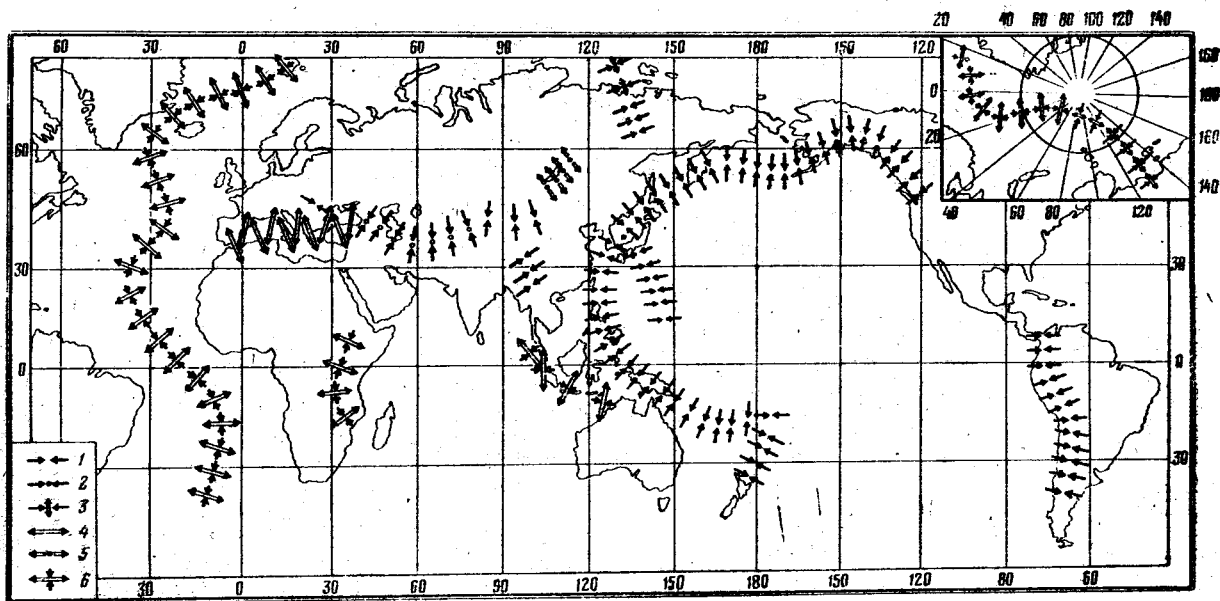


Рис. 10. Ориентация главных осей напряжений в поле упругих напряжений Земли. Наибольшие относительные сжатия (1, 2, 3) или растяжения (4, 5, 6) ориентированы горизонтально и вкрест простирания структур.

5. Пояс центральной части Индийского океана с отвे�тынениями.

6. Зоны разломов (в собственном смысле); ярким примером являются большие рифты¹⁾ Восточной Африки.

7. Большая треугольная активная площадь в восточной Азии, заключенная между Альпийским поясом и Тамиро-Байкальской зоной.

8. Второстепенные сейсмические районы, обычно в областях древней складчатости.

9. Центральная впадина северной части Тихого океана. Она почти асейсмична, за исключением Гавайских островов.

10. Стабильные центральные щиты континентов, также почти асейсмичные.

Очаги землетрясений в некотором смысле являются «датчиками» напряжений, существующих в наружной сейсмоактивной оболочке Земли. Действительно, изучая распределение первых вступлений сейсмических волн данного землетрясения на поверхности Земли, можно определить направления главного растягивающего и сжимающего напряжения в его очаге.

Карта упругих напряжений Земли по данным о межхимиках землетрясений показана на рис. 10. Она построена А. В. Веденской с сотрудниками²⁾. Рассматривая эту карту, можно сделать следующие общие выводы. Прежде всего, поле упругих напряжений Земли имеет планетарный характер. Мы видим, что наиболее сейсмически активная область земного шара, Тихоокеанский сейсмический пояс, — находится в условиях горизонтального одностороннего сжатия. Наоборот, основные рифтовые структуры Земли (Срединно-Атлантический хребет, Восточно-Африканский и Байкальский рифты) находятся в условиях горизонтального растяжения. Определение поля упругих напряжений исключительно важно для тектоники. Оно широко используется для аргументации в пользу новой глобальной тектоники — тектоники плит.

¹⁾ Рифт — линейно вытянутая на несколько сотен км (передко свыше 1000 км) щелевидная или ровобразная структура глубинного происхождения. Ширина большинства континентальных и океанических рифтов 30—70 км, однако известны более узкие (5—20 км) и более широкие (200—400 км) рифты.

²⁾ Балакина Л. М., Веденская А. В., Голубев Н. Н., Марина Е. И. Пояс упругих напряжений Земли и механизм отбора землетрясений. — М.: Наука, 1972.